AQC0621 | NAN-COL000325

Nanopublication — Analyse Computationnelle d'Image - AQC0621

par Arnaud Quercy · Do Majeur - Recherche sur l'Harmonie · 2024

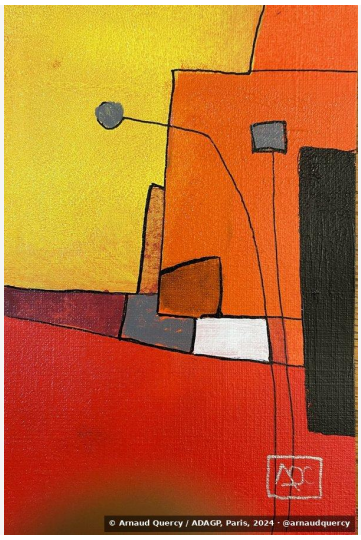

AFFIRMATION 1: ANALYSE COMPUTATIONNELLE D'IMAGE - AQC0621

Analyse computationnelle de la photographie de l'œuvre Do Majeur - Recherche sur l'Harmonie (AQC0621) [1] par Arnaud Quercy [2], selon IDS-CMP-2025 [3], sur une image de 1000 pixels de côté, le 2025-10-03. Chaque couleur est située dans le système Munsell et nommée selon le système ISCC-NBS (267 noms, National Bureau of Standards, 1976). L'image se divise en 26 aplats. Les plus étendus sont un jaune soutenu (26 %), un rouge vif (24 %) et un orange rougeâtre vif (11 %). Parmi les autres, ceux qui se détachent le plus nettement de leur entourage sont un olive grisâtre foncé à droite (8,1 %), un blanc rosé au centre (1,5 %) et un noir brunâtre au centre (1,3 %). Par famille de noms : orange 32 %, jaune 25 %, rouge 21 %, marron 7,4 %, olive 5,4 %, gris 1,9 %, noir olive 1,5 %, jaune-orangé 1,4 %, blanc 1,3 % et noir 1,1 %.

CONTEXTE

Analyse effectuée selon IDS-CMP-2025 [3] : (a) couleurs nommées selon Munsell et ISCC-NBS, surfaces et aplats, (b) texture, (c) luminosité et contraste, (d) distribution spatiale. Image source : 2372x3558 pixels. Date d'analyse : 2025-10-03.

A) ANALYSE DES COULEURS

Aplats

Classés par écart avec leur pourtour (CIE-DE2000). Les traits de moins de 10 pixels d'épaisseur sont écartés (15).

Rang	Couleur	Nom ISCC-NBS	Munsell	Surface	Écart	Position
1	2F2D25	olive grisâtre foncé	0.6GY 1.7/0.9	8,1 %	44.2	à droite
2	E8E6E3	blanc rosé	2.1R 9.1/1.0	1,5 %	43.4	au centre
3	1C130E	noir brunâtre	0.9Y 0.7/0.8	1,3 %	42.1	au centre
4	646965	gris verdâtre foncé	0.3G 4.4/0.9	0,3 %	41.3	en haut à gauche
5	35291E	olive grisâtre foncé	4.3Y 1.8/1.8	0,2 %	39.3	en haut à droite
6	706E6D	gris rougeâtre	3.6R 4.5/0.7	0,4 %	28.1	en haut à droite
7	802D33	rouge foncé	4.6R 3.1/7.9	2,1 %	26.5	à gauche
8	E3C636	jaune soutenu	4.9Y 7.9/9.9	26 %	26.0	en haut à gauche
9	ED662C	orange rougeâtre vif	0.2YR 5.8/13.6	0,4 %	24.2	à droite
10	E6601F	orange rougeâtre vif	1.2YR 5.7/13.6	11 %	22.9	en haut à droite
11	5D5B5D	gris foncé	N 3.8/	1,3 %	20.3	au centre
12	C97B30	orange moyen	5.4YR 5.8/9.5	0,8 %	13.1	au centre
13	C0250F	rouge vif	8.6R 4.2/15.2	24 %	11.0	en bas
14	6F3D14	marron soutenu	6.0YR 3.0/6.2	3,4 %	10.9	en bas
15	A0410C	orange rougeâtre foncé	1.9YR 4.1/10.8	1,5 %	10.0	au centre
16	DA9D33	jaune-orangé moyen	9.4YR 6.8/9.7	0,5 %	7.7	à gauche
17	D05032	orange rougeâtre soutenu	9.0R 5.1/12.3	0,3 %	6.6	à droite
18	E25F0E	orange rougeâtre vif	0.9YR 5.5/14.5	6,1 %	5.3	au centre
19	CE3223	orange rougeâtre vif	8.1R 4.5/14.2	3,6 %	1.9	en bas à droite
20	C82A1C	rouge vif	8.2R 4.4/14.9	0,2 %	1.5	en bas à droite
21	C73123	rouge vif	8.2R 4.4/13.5	0,1 %	1.4	en bas à droite
22	C72E22	rouge vif	7.7R 4.3/14.0	0,1 %	1.2	en bas à droite
23	C62616	rouge vif	8.3R 4.2/15.0	0,1 %	1.1	en bas à droite
24	EF6226	orange rougeâtre vif	0.5YR 5.8/13.9	3,4 %	0.8	en haut à droite
25	D13521	orange rougeâtre vif	8.0R 4.7/14.9	0,7 %	0.3	en bas à droite
26	CA3124	orange rougeâtre vif	8.1R 4.5/14.2	0,5 %	0.3	en bas à droite

Familles de noms

Famille	Surface
orange	32 %
jaune	25 %
rouge	21 %
marron	7,4 %
olive	5,4 %
gris	1,9 %
noir olive	1,5 %
jaune-orangé	1,4 %
blanc	1,3 %
noir	1,1 %
marron olive	0,7 %

B) ANALYSE DE TEXTURE

Métrique	Valeur
Global Roughness	0.211
Mean Local Roughness	0.024
Roughness Uniformity	0.019
Edge Density	0.143
Mean Gradient Magnitude	0.199
Gradient Variance	0.045
Gradient Smoothness	0.0
Directional Coherence	0.009
Pattern Complexity	0.123
Pattern Repetition	1.0
Detail Frequency Ratio	0.625
Spatial Variation	0.165
Texture Consistency	0.484

C) ANALYSE DE LUMINOSITÉ ET CONTRASTE

Métrique	Valeur
Mean Brightness	0.47
Brightness Variance	0.211
Brightness Uniformity	0.55
Brightness Skewness	0.239
Brightness Entropy	7.55
Rms Contrast	0.211
Michelson Contrast	1.0
Weber Contrast	0.701
Mean Local Contrast	0.026
Contrast Uniformity	0.282
Dynamic Range	1.0
Effective Dynamic Range	0.655
Shadow Percentage	32.949
Midtone Percentage	41.593
Highlight Percentage	25.458
Shadow Clipping	0.012
Highlight Clipping	0.007
Tonal Balance	0.211
Fine Contrast	0.013
Medium Contrast	0.032
Coarse Contrast	0.051
Multiscale Contrast Ratio	0.267
Edge Contrast	0.199
Contrast Clustering	0.516

D) ANALYSE DE DISTRIBUTION SPATIALE

Métrique	Valeur
Spatial Coherence	0.762
Color Clustering	0.492
Color Transition Smoothness	0.517
Transition Uniformity	0.704
Sharp Transition Ratio	0.1
Transition Directionality	0.011
Mean Saturation	0.753
Saturation Variance	0.056
Low Saturation Ratio	0.103
Medium Saturation Ratio	0.096
High Saturation Ratio	0.801
Saturation Clustering	0.998
Hue Concentration	0.946
Complementary Balance	0.0
Analogous Dominance	0.999
Temperature Bias	0.993

Méthodologie

Analyse computationnelle d'une photographie de l'œuvre, ramenée à 1 000 pixels sur son plus grand côté et filtrée par une médiane 3×3 pour retirer le grain. Couleurs : chaque pixel (sRGB arrondi à 5 bits par canal) reçoit sa notation Munsell et son nom ISCC-NBS par une table calculée une fois depuis les données publiées (renotation Munsell ; blocs ISCC-NBS, NBS Special Publication 440, 1976), jamais depuis les œuvres. Aplats : régions d'un seul tenant d'un même nom, fusionnées avec leurs voisines tant que l'écart CIEDE2000 entre leurs couleurs moyennes reste sous 10 ; aplat retenu à partir de 0,05 % de l'image ; écart avec le pourtour mesuré de 4 à 12 pixels du bord. Texture : écart-type des intensités, écart-type local, densité de contours (Canny), motifs binaires locaux. Luminosité : moyenne, variance, contrastes RMS, de Michelson et local, répartition ombres / tons moyens / lumières. Distribution : cohérence spatiale, transitions, saturation. Méthodes déterministes et reproductibles. Limites : la mesure porte sur la photographie, sa lumière et sa balance des blancs comprises ; deux aplats voisins d'écart inférieur à 10 sont réunis.

RÉFÉRENCES

[1] Quercy, A. (2024). C Major - Research on Harmony - Catalogue Raisonné. https://arnaudquercy.art/fr/catalogue-raisonne/AQC0621.html

[2] Quercy, A. (2025). ORCID https://orcid.org/0009-0000-2662-7790

[3] Quercy, A. (2026). Computational Image Analysis Standard. https://ideamorphism.org/fr/mesures/2025/11/ids-cmp-2025-norme-danalyse-computationnelle-dimage-5dq9.html

PROFIL ÉPISTÉMIQUE

Type de revendication	computational analysis
Voix	third person
Statut épistémique	empirical measurement
Méthodologie	computational analysis
Certitude	high

SOMME DE CONTRÔLE (SHA-256)

07a65f0eaaca47b93d051975a07cf09b782bdafdfa40e2fd96cf6e6e26d2a89c

Sous licence Creative Commons Attribution 4.0 International (CC BY 4.0)

Artiste Arnaud Quercy
Date 2024
Certificat 20240615-0117
Asset code AQC0621
Identifiant NAN-COL000325
Version 1
Publié le 2025-10-03

ISSN : demande en cours — Centre ISSN américain, Library of Congress

© 2026 Études idéamorphiques

Publié par Art Quam Anima Publishing New York,
un nom commercial d'AQA Publishing LLC

c/o Northwest Registered Agent, 418 Broadway Ste N
Albany, NY 12207, USA
+1 917-764-5470

NY DOS ID 7624376 · Assumed Name ID 7658709

publishing.artquamanima.com

Dernière mise à jour : 2026-10-12

URI persistante : https://ideamorphism.org/fr/nanopubs/2025/10/AQC0621-computational-image-analysis-aqc0621.pdf